

# Calculs d'endurance par similitude

Jean-François Debongnie

ULg, LTAS/LMF

February 25, 2011

# Calculs d'endurance classiques

## Méthode du gradient :

Contrainte d'endurance locale = fct du *gradient relatif*  $\chi$

$$\sigma_{\max D} = \Sigma(\chi)$$

$$\chi = \frac{1}{\sigma} |\mathbf{grad} \sigma| \text{ au maximum}$$

$$\chi = \frac{B_1}{d} + \frac{B_2}{R}$$

$d$  = taille pièce,  $R$  = rayon à fond d'entaille.

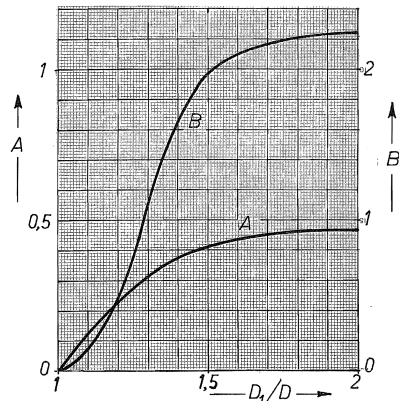
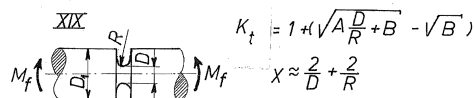
$$\Sigma(\chi) = \sigma_{D0} + A\sqrt{\chi}$$

- $\sigma_{D0}$  = limite d'endurance en extension
- $A$  à peu près constant pour tous les aciers ( $\approx 70 \text{ MPa}\sqrt{\text{mm}}$ )

Avec entaille :

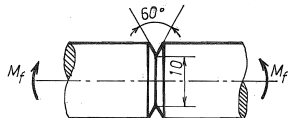
$$\sigma_{nD} = \frac{\Sigma(\chi)}{K_t} = \frac{\sigma_{D_0} + A\sqrt{\chi}}{K_t}$$

Suppose évidemment  $K_t$  et  $\chi$  connus (il existe des tables).

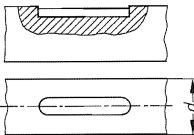


# Entailles non calculables

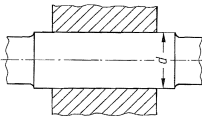
- Entailles vives ( $R = 0$ )



- Données insuffisantes, rayon  $R$  mal défini



- Assemblages frettés :  $K_t = ?$ ,  $\chi = ?$



→ Pourquoi pas une méthode de similitude ?

# Méthode de similitude

Pièces géométriquement semblables : ont en commun

- Coefficient de concentration de contrainte  $K_t$
- Nombre de gradient  $G = \sqrt{\chi d}$

Facteur d'affaiblissement :

$$\gamma = \frac{\sigma_{nD}(d)}{\sigma_{D0}} \quad (\text{en torsion: } \gamma = \frac{\tau_{nD}(d)\sqrt{3}}{\sigma_{D0}})$$

$$\text{Méthode du gradient} \Rightarrow \gamma = \frac{1}{K_t} + \frac{G}{K_t} \frac{A}{\sigma_{D0}\sqrt{d}} = C_1 + C_2 \frac{A}{\sigma_{D0}\sqrt{d}}$$

$$\rightarrow \text{Nouveau nb sans dimension } Z = \frac{A}{\sigma_{D0}\sqrt{d}}$$

Cas des aciers :

$$A \approx \text{cte} \Rightarrow C_3 = C_2 A \text{ et } \gamma = C_1 + \frac{C_3}{\sigma_{D0}\sqrt{d}}$$

## Entailles vives

$$K_t \rightarrow \infty, \quad G \rightarrow \infty$$

mais

$$C_2 = \frac{G}{K_t} \rightarrow \text{valeur finie}$$

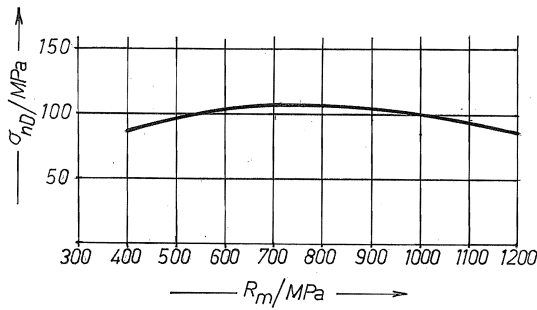
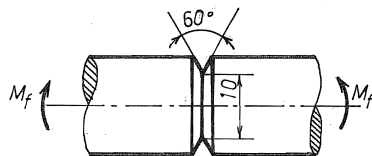
Alors,

$$\gamma = \frac{C_3}{\sigma_{D_0} \sqrt{d}}, \quad \sigma_{nD} = \frac{C_3}{\sqrt{d}}$$

- C'est le cas où l'effet d'échelle est le plus marqué.
- La limite d'endurance est indépendante de la dureté de l'acier.

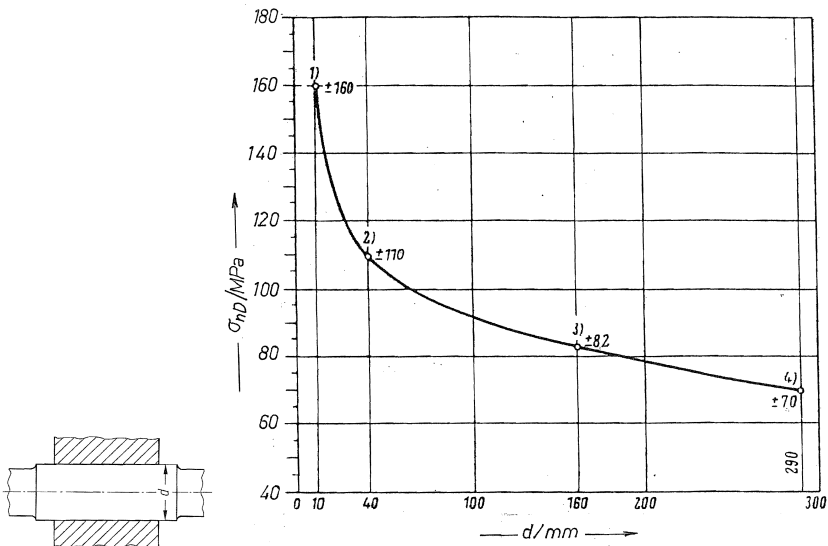
Remarque : ce cas est un peu idéalisé, car les entailles ne sont jamais tout-à-fait vives (l'outil a toujours un rayon de bec). Cependant...

# Saignée vive à 60° (Köhler & Rögnitz)



$$\sigma_{nD} \approx 100 \text{ MPa}, \text{ soit } C_3 = 316,2 \text{ MPa} \sqrt{\text{mm}}$$

# Frettage : $K_t = ?$ , $\chi = ?$ - Données de Lehr (noter l'effet d'échelle !)



$$C_1 = 0,2373; \quad C_3 = 341,4$$

Vérifié sur d'autres données – Différence  $\leq 4\%$

## Autres résultats expérimentaux

Une vaste campagne d'identification des paramètres  $C_1$  et  $C_3$  a été menée, incluant de nombreuses géométries utiles.

- Base : résultats de la littérature, souvent pour un diamètre et plusieurs aciers, parfois pour un acier et plusieurs diamètres.
- Régressions excellentes.
- Un tableau de données utiles a été construit.

$$\text{Tableau 1} - \gamma = C_1 + \frac{C_3}{\sigma_{D0}\sqrt{d}}$$

( $C_3$  en  $MPa\sqrt{mm}$ )

Entaille	$C_1$	$C_3$
Rainure de clavette, flexion [10]	0,2853	346,5
$\sigma_n = \frac{M_f d}{2I}$		
$I = \frac{\pi d^4}{64} - \frac{bt(d-t)^2}{4}$		
b=largeur, t=profondeur		
Idem, torsion [10]	0,2826	389,6
$\tau_n = \frac{M_t d}{2I_t}$		
$I_t = \frac{\pi d^4}{32} - \frac{bt(d-t)^2}{4}$		
Assemblage fretté, flexion [6,8,9]	0,2373	341,4
Assemblage fretté, torsion [8]	0,4006	456,2
Assemblage par boulon métrique extension [10]	0,0854	154,6
Assemblage par boulon Withworth extension [10]	0,1202	206,6
Filetage Withworth sur arbre [11]		
- extension	0,1556	176,8
- flexion	0,1610	437,3

Filetage métrique sur arbre [11]			
- extension	0,1446	158,4	
- flexion	0,1436	429,9	
Cannelures en flexion [10]	0,4508	235,3	
$\sigma_f = M_f/W_f$			
- développante : $W_f = \frac{\pi d^3}{32}$			
- droites : $W_f = \xi \frac{\pi d^3}{32}$			
9/8 : série légère			
$\xi = 6/5$ : série moyenne			
5/4 : série lourde			
Cannelures en torsion [10]			
$\tau_t = \frac{M_t}{2W_f}$ , $W_f$ comme ci-dessus	0,2736	167,4	
- droites	0,2736	167,4	
- en développante	0,5578	170,4	
Gorge à circlips [9]			
- flexion	0	368,1	
- torsion	0	449,7	
Arbre dentelé, torsion [12]	0,3628	283,8	
$\tau_t$ : section brute			
Saignée vive en V ( $60^\circ$ ) [7]	0	316,2	

## Exemple de calcul

Arbre dentelé, torsion,  $R_m = 600 \text{ MPa}$ ,  $\sigma_{D0} = 273 \text{ MPa}$ ,  $d = 40 \text{ mm}$

$$\text{Tableau} \rightarrow C_1 = 0,3638, \quad C_2 = 283,8 \text{ MPa} \sqrt{\text{mm}}$$

$$\gamma = C_1 + \frac{C_3}{\sigma_{D0} \sqrt{d}} = 0,3638 + \frac{283,8}{273 \sqrt{40}} = 0,5282$$

$$\tau_{nD} \sqrt{3} = \gamma \sigma_{D0} = 0,5282 \cdot 273 = 144,2 \text{ MPa}$$

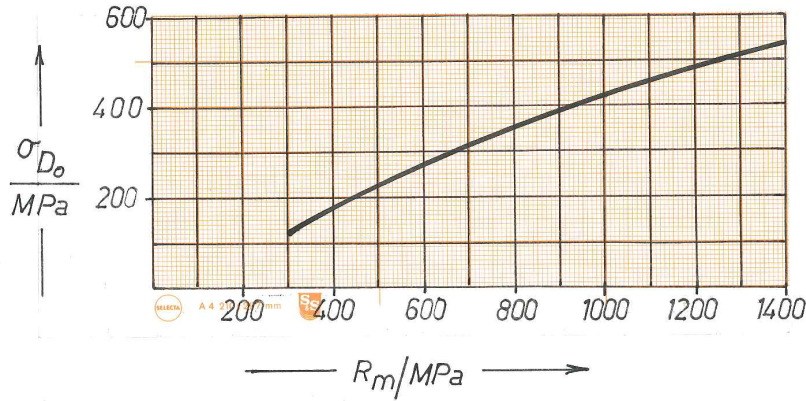
$$\tau_{nD} = \frac{144,2}{\sqrt{3}} = 83,25 \text{ MPa}$$

# Conclusions

- Méthode fondée sur des conditions de similitude appliquées à la méthode du gradient.
- Les calculs sont très simples à réaliser.
- La voie est ainsi ouverte à toute une série de géométries qui résistent aux calculs traditionnels.
- Les régressions obtenues à partir de résultats de la littérature sont tout simplement étonnantes.
- Nous espérons pouvoir enrichir notre tableau dans le futur.
- Le cas d'autres métaux que l'acier reste un sujet ouvert pour des recherches futures.

# Limite d'endurance en extension des aciers

Données de Niemann



$$\frac{\sigma_{D_0}}{MPa} = -243,9 + 21,09 \sqrt{\frac{R_m}{MPa}}$$